

01

## Реконструкция хаотических колебаний, прошедших через линейные фильтры

© А.А. Кипчатов, Е.Л. Козленко

Государственный учебно-научный центр "КОЛЛЕДЖ"  
Саратовского государственного университета

Поступило в Редакцию 6 апреля 1998 г.

Рассмотрена проблема диагностики хаотических колебаний, порожденных динамической системой и искаженных какой-либо линейной инерционной цепью. Развита метод восстановления исходного сигнала и определения характеристик искажающего фильтра по временной реализации исследуемого процесса.

Известно, что хаотические колебания, прошедшие через линейные инерционные системы, искажаются, их восстановленные аттракторы усложняются, а размерность возрастает [1,2].

В зависимости от свойств фильтра повышение размерности происходит двумя путями. Для цепей, обладающих свойствами рекурсивных фильтров, происходит фрактальное расслоение исходного аттрактора хаотических колебаний (суперфрактализация), влекущее за собой повышение размерности в пределе бесконечного разрешения ( $\varepsilon \rightarrow 0$ ) [3]. Это реальное повышение размерности. Величина этого повышения в пределе развитого хаоса и сильной фильтрации равна порядку фильтра [6]. Цепи, обладающие только лишь свойствами нерекурсивных фильтров, не должны приводить к увеличению размерности [4], однако перестройка аттрактора имеет место и в этом случае: аттрактор становится "лохматым", но сохраняет тонкую структуру. Это приводит к тому, что в некотором диапазоне пространственных масштабов размерность оценивается как более высокая. Это наблюдаемое увеличение размерности. В любом случае в доступном для вычислений диапазоне пространственных масштабов  $[\varepsilon_{\min}, \varepsilon_{\max}]$  при фильтрации будет фиксироваться повышение размерности, а исходная динамическая система будет замаскирована.

Возникает вопрос: возможно ли устранить влияние таких передающих цепей, не имея представления об устройстве исследуемой системы, а основываясь исключительно на информации, которую можно извлечь из временной реализации "черного ящика". В данной статье мы покажем,

что это возможно, а также предложим процедуру, с помощью которой этого можно достичь на практике.

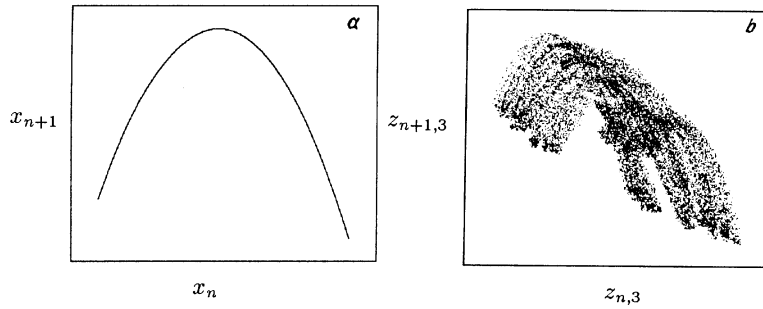
Идеология метода предложена в [5] и основана на линейности рассматриваемых инерционных систем, что позволяет синтезировать дополнительный фильтр, передаточная характеристика которого обратна передаточной характеристике скрытого фильтра. Тогда их общая передаточная характеристика не будет зависеть от частоты и на выходе дополнительного фильтра будут наблюдаться колебания, равные исходным с точностью до постоянного сдвига во времени.

Пусть скрытый фильтр имеет вид  $z_n = \beta_0 x_n + \sum_{k=1}^m \beta_k x_{n-k} + \sum_{k=1}^p \alpha_k z_{n-k}$ , где  $x_n$  — входной сигнал,  $z_n$  — выходной сигнал. Передаточная характеристика такого фильтра имеет вид  $H(\omega) = (\beta_0 + \sum_{k=1}^m \beta_k e^{-jk\omega T}) / (1 - \sum_{k=1}^p \alpha_k e^{-jk\omega T})$ . Тогда если передаточную характеристику дополнительного фильтра обозначить за  $H'(\omega)$ , то должно выполняться  $H(\omega)H'(\omega) \equiv 1$  и  $H'(\omega)$  имеет вид  $H'(\omega) = (1 - \sum_{k=1}^p \delta_k e^{-jk\omega T}) / (\gamma_0 + \sum_{k=1}^m \gamma_k e^{-jk\omega T})$ , где  $\gamma_k = \beta_k$ ,  $\delta_k = \alpha_k$ .

В предположении отсутствия шумов такой дополнительный фильтр даст на выходе сигнал исходной динамической системы.

Задача сводится к нахождению коэффициентов "антифильтра"  $\gamma_k$  и  $\delta_k$ . Подбор коэффициентов "антифильтра" основывается на гипотезе, что если хаотические колебания были порождены динамической системой (ДС), то линейный фильтр, если  $H(\omega) \neq 1$ , может только увеличить размерность аттрактора таких колебаний. В то же время размерность аттрактора колебаний на выходе системы типа "ДС + фильтр" может быть уменьшена до уровня размерности аттрактора исходного сигнала (на выходе ДС) путем подбора дополнительного фильтра. Более того, размерность можно использовать в качестве критерия выбора коэффициентов дополнительного фильтра [5]. Поясним на простом примере. Рассмотрим рекурсивный фильтр первого порядка  $z_n = \alpha_1 z_{n-1} + x_n$ , где  $\alpha_1 \in [-1, 1]$ . Легко убедиться, что в качестве дополнительного фильтра следует взять нерекурсивный фильтр  $w_n = \beta_1 z_{n-1} + z_n$  при  $\beta_1 = -\alpha_1$  (для этого достаточно подставить  $z_n$  в выражение для  $w_n$ ).

При  $\beta_1 = -\alpha_1$  размерность аттрактора сигнала  $\{w_n\}$  будет минимальна и равна размерности аттрактора исходного сигнала  $\{x_n\}$ . При всех остальных значениях  $\beta_1$  размерность будет выше, так как



**Рис. 1.** Аттрактор, восстановленный по последовательности  $\{x_n\}$ , генерируемой логистическим отображением (а), и аттрактор, восстановленный по последовательности  $\{z_{n,3}\}$  на выходе исследуемой системы (б).

результатирующий фильтр будет представлять собой рекурсивный фильтр с отличным от нуля коэффициентом. Таким образом, если вычислить размерность аттрактора результирующих колебаний для всех  $\beta_1 \in [-1, 1]$  и построить трехмерный график  $D_c = D_c(E, \beta_1)$ , где  $D_c$  — корреляционная размерность,  $E$  — масштаб наблюдения (в dB) ( $E = 20 \lg(\varepsilon/\varepsilon_0)$ ), то при  $\beta_1 = -\alpha_1$  должен наблюдаться минимум.

Обобщим процедуру на случай фильтра более высокого порядка. Допустим, скрытый фильтр допускает представление в виде цепочки из  $p$  рекурсивных и  $m$  нерекурсивных фильтров (заметим, что это не всегда возможно). Тогда дополнительный фильтр будет представлять из себя цепочку из  $m$  рекурсивных и  $p$  нерекурсивных фильтров. Коэффициенты фильтров сконструированной цепочки можно найти последовательно, наращивая цепочку дополнительных фильтров, используя выше описанную схему.

Рассмотрим следующий пример. Исследуемая система состоит из логистического отображения  $x_n = 1 - \lambda x_{n-1}^2$ , генерирующего хаотическую последовательность  $\{x_n\}$ , при  $\lambda = 1.9$  и цепочки из двух рекурсивных и одного нерекурсивного фильтра

$$z_{n,1} = x_n + \alpha_1 z_{n-1,1}$$

$$z_{n,2} = z_{n,1} + \alpha_2 z_{n-1,2}$$

$$z_{n,3} = z_{n,2} + \beta_1 z_{n-1,2}.$$

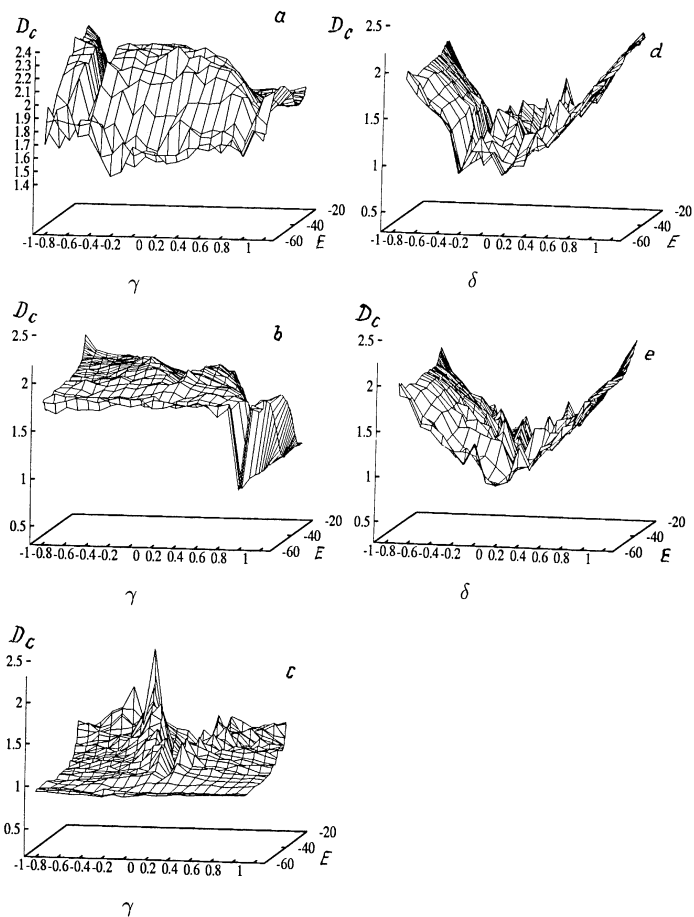
Здесь первый подстрочный индекс означает дискретное время, а второй — номер фильтра в цепочке. Значения  $\alpha$  и  $\beta$  лежат в диапазоне  $[-1, 1]$ . Объединенная система при  $\alpha_1 = -0.7$ ,  $\alpha_2 = 0.8$ ,  $\beta_1 = -0.4$  представляет "черный ящик" и для анализа доступна только последовательность  $\{z_{n,3}\}$ . Аттракторы, восстановленные по последовательности  $\{x_n\}$  и по  $\{z_{n,3}\}$  представлены на рис. 1, *a* и *b* соответственно. Видно, что аттрактор фильтрованного сигнала значительно отличается от исходного и привычными методами он не будет опознан как порожденный логистическим отображением.

Попытаемся отыскать вначале коэффициенты рекурсивных фильтров. Для этого будем использовать нерекурсивный фильтр вида:

$$w_n = z_n - \gamma z_{n-1}, \quad (1)$$

где  $z_n$  — сигнал на входе "антифильтра",  $w_n$  — сигнал на выходе. Коэффициент  $\gamma$  будем варьировать в пределах от  $-1$  до  $+1$  с шагом  $\Delta\gamma = 0.1$ . Для каждого  $\gamma$  из указанного диапазона будем производить расчет корреляционной размерности  $D_c$  для аттрактора сигнала  $\{w_n\}$ , используя алгоритм, основанный на методе, предложенном Грассбергером и Прокаччиа [9]. Параметры метода: число точек реализации  $N = 10^5$ , число точек редукции  $M = 10^4$ , размерность пространства вложения  $d = 5$ , временная задержка  $\tau = 1$ . Эффективный диапазон пространственных масштабов  $E$  находится в пределах от  $-60$  до  $-20$  dB. Область больших масштабов ( $E > -20$  dB) отсекается из-за влияния краевых эффектов [7], область малых пространственных масштабов ( $E < -60$  dB) отсекается из-за недостатка точек [8]. По полученным данным строим график зависимости  $D_c(E, \gamma)$ ,  $E \in [-60, -20]$ ,  $\gamma \in [-1, 1]$  (рис. 2, *a*). Явно заметен минимум при  $\gamma = -0.7$ . Считаем, что мы нашли первый "рекурсивный коэффициент" "антифильтра"  $\alpha_1 = \gamma = -0.7$  ( $\alpha_1 = \gamma$ , а не  $-\gamma$ , поскольку в (1) перед  $\gamma$  уже стоит минус). Теперь сигнал  $\{w_n\}$ , полученный при  $\gamma = -0.7$ , пропустим через фильтр (1) и вновь строим график  $D_c = D_c(E, \gamma)$  (рис. 2, *b*). На этот раз четкий минимум наблюдается при  $\gamma = 0.8$ , из чего заключаем, что  $\alpha_2 = 0.8$ . На третьем шаге минимум не наблюдается (рис. 2, *c*) поэтому считаем, что все "рекурсивные коэффициенты" "антифильтра" найдены.

Следуя предложенному методу, коэффициенты нерекурсивных звеньев скрытых фильтров будем искать при помощи рекурсивного дополнительного фильтра вида  $w_n = z_n - \delta w_{n-1}$ . При этом в качестве входного сигнала будет выступать сигнал, полученный с выхода последнего



**Рис. 2.** Графики зависимости корреляционной размерности от масштаба наблюдения и коэффициента антифильтра, построенные по сигналу, полученному с выхода первого (а), второго (b) и третьего (c) нерекурсивных дополнительных фильтров, и графики, построенные по сигналу, прошедшему через нерекурсивные дополнительные фильтры и через первый (d) и второй (e) рекурсивные дополнительные фильтры.  $D_c$  — корреляционная размерность,  $E$  — пространственный масштаб наблюдения,  $\gamma$ ,  $\delta$  — коэффициенты дополнительных фильтров.

дополнительного фильтра вида (1), при котором наблюдался минимум. На рис. 2, *d* представлен график зависимости  $D_c = D_c(E, \delta)$ . На графике замечен минимум при  $\delta = -0.4$ , т.е.  $\beta_1 = -0.4$ . Повторив процедуру, замечаем, что минимум на графике размерности отсутствует, а значит все "нерекурсивные коэффициенты" найдены (рис. 2, *e*).

Таким образом, мы нашли  $\gamma_1, \gamma_2, \delta_1$ , полностью определяющие коэффициенты скрытого фильтра, и полностью реконструировали вид временной реализации исходной динамической системы.

Работа выполнена при финансовой поддержке Российского фонда фундаментальных исследований.

## Список литературы

- [1] *Badii R., Politi A.* // Proceedings of workshop instabilities in quantum, 1986.
- [2] *Sauer T., Yorke J.* // International Journal of Bifurcation and Chaos. 1993. V. 3(3). P. 737–744.
- [3] *Kipchatov A.A., Krasichkov L.V.* // Письма в ЖТФ. 1995. Т. 21 (4) С. 1–6.
- [4] *Broomhead D., Huke J., Muldoon M.* // J. Roy. Stat. Soc. B. 1992. V. 54. P. 373–382.
- [5] *Chennaoui A., Pawelzik K.* et al. // Phys. Rev. A. 1990. V. 41. N 8. P. 4151–4159.
- [6] *Kipchatov A.A., Kozlenko E.L.* // Письма в ЖТФ. 1997. Т. 23 (7). С. 8–13.
- [7] *Ding M., Grebogi C., Ott E.* et al. // Physica D. 1993. V. 69. P. 404–424.
- [8] *Кипчатов А.А.* // Письма в ЖТФ. 1995. Т. 21 (15). С. 90–95.
- [9] *Grassberger, Procaccia I.* // Phys. Rev. Lett. 1983. V. 50. P. 346.